

ДИФРАКЦИОННЫЕ ОПТИЧЕСКИЕ ЭЛЕМЕНТЫ

Л.Л.Досколович, Н.Л.Казанский, В.А.Сойфер

АНАЛИЗ КВАЗИПЕРИОДИЧЕСКИХ И ГЕОМЕТРООПТИЧЕСКИХ РЕШЕНИЙ ЗАДАЧИ ФОКУСИРОВКИ В ПРОДОЛЬНЫЙ ОТРЕЗОК

Введение

Для получения оптического разряда в газе [1], в оптических системах звукозаписи и воспроизведения [2], для бесконтактных измерений в специализированных микроскопах [3] и многих других областях [4] требуются оптические элементы, фокусирующие лазерное излучение в продольный отрезок.

Для фокусировки излучения в продольный отрезок используются рассчитываемые в геометрикооптическом приближении дифракционные оптические элементы (ДОЭ), известные как фокусаторы [4-6]. В работе [7] для расчета ДОЭ, фокусирующего в продольный отрезок, применен итеративный алгоритм. Основным недостатком методов [4-7] является неравномерность распределения энергии, сфокусированной в ε -окрестности оптической оси. В настоящей работе предлагаются аналитический и итерационный методы расчета новых "квазипериодических" ДОЭ, фокусирующих излучение в отрезок оптической оси. На основе вычислительного эксперимента проводится сравнительный анализ работоспособности геометрикооптического и квазипериодического решений задачи фокусировки в продольный отрезок.

Постановка задачи фокусировки

Предположим, что лазерный пучок с комплексной амплитудой

$$W_0(r) = \sqrt{I_0(r)} \exp[i\varphi_0(r)], \quad r \in [0, R], \quad (1)$$

где $I_0(r)$ - интенсивность, а $\varphi_0(r)$ - фаза освещающего пучка, падает на ДОЭ с круглой апертурой радиуса R . ДОЭ располагается в плоскости $z=0$ (Рис.1) и преобразует падающее излучение в поле с комплексной амплитудой

$$W(r) = W_0(r) \exp[i\hat{\varphi}(r)], \quad (2)$$

где $\hat{\varphi}(r)$ - фазовая функция ДОЭ.

Требуется рассчитать фазовую функцию $\hat{\varphi}(r)$, обеспечивающую фокусировку падающего пучка в отрезок оптической оси с распределением интенсивности $I(z)$, $z \in [z_1, z_2]$.

Для удобства представим $\hat{\varphi}(r)$ в форме

$$\hat{\varphi}(r) = \varphi(r) - \varphi_0(r). \quad (3)$$

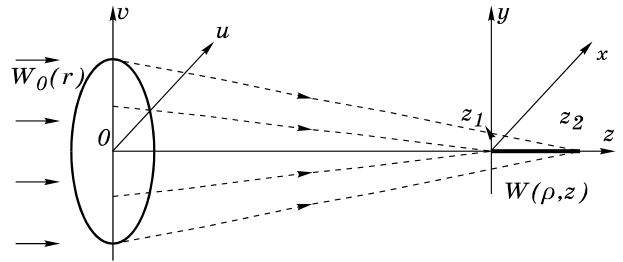


Рис. 1. Геометрия задачи фокусировки в продольный отрезок.

Представление (3) обеспечивает возможность расчета ДОЭ независимо от фазы $\varphi_0(r)$ освещающего пучка. В дальнейшем изложении используется функция $\varphi(r)$, которая однозначно определяет фазовое пропускание ДОЭ.

Расчет фазовой функции ДОЭ

Комплексная амплитуда $W(\rho, z)$, $\rho = \sqrt{x^2 + y^2}$ поля в фокальной области ДОЭ (см. Рис. 1) определяется через комплексное пропускание ДОЭ $\exp[i\varphi(r)]$ на основе интеграла Френеля-Кирхгофа [8,9]

$$W(\rho, z) = \frac{k}{z} \exp\left(i \frac{k\rho^2}{2z}\right) \times \int_0^R \sqrt{I_0(r)} \exp[i\varphi(r)] \exp\left(i \frac{kr^2}{2z}\right) J_0\left(k \frac{r\rho}{z}\right) r dr, \quad (4)$$

где $k=2\pi/\lambda$, λ - длина волны, а $J_0(r)$ - функция Бесселя первого рода нулевого порядка [10].

Для комплексной амплитуды поля на оптической оси ($\rho=0$) уравнение (4) принимает вид

$$W(0, z) = \frac{k}{z} \int_0^R \sqrt{I_0(r)} \exp\left(i\varphi(r) + ik \frac{r^2}{2z}\right) r dr. \quad (5)$$

Подстановка переменных в форме

$$\xi = -\frac{z_1}{z} \quad \text{и} \quad x = \frac{r^2}{2} \quad (6)$$

позволяет переписать уравнение (5) в виде

$$W(\xi) = -\frac{k}{z_1} \xi \int_0^{R^2/2} \sqrt{I_0(\sqrt{2x})} \exp[i\varphi_1(x)] \exp\left(-ik \frac{x\xi}{z_1}\right) dx, \quad (7)$$

где $\varphi_1(x) = \varphi(\sqrt{2x})$.

Как следует из формулы (7) задача фокусировки в продольный отрезок с распределением интенсивности $I(z)$, $z \in [z_1, z_2]$, сводится к задаче расчета фазовой функции $\varphi_I(x)$ одномерного ДОЭ, фокусирующего пучок с комплексной амплитудой $\sqrt{I_0(\sqrt{2x})} \exp(-ikx^2/2z_1)$, $x \in [0, R^2/2]$, в поперечный отрезок с распределением интенсивности $I(-z_1/\xi)/\xi^2$, $\xi \in [-1, -z_1/z_2]$ в плоскости, расположенной на расстоянии z_1 от апертуры одномерного ДОЭ. Используя различные методы расчета фазовой функции $\varphi_I(x)$ одномерного ДОЭ можно получить различные решения задачи фокусировки в продольный отрезок.

В рамках геометрического приближения фазовую функцию одномерного ДОЭ можно найти из решения следующей системы уравнений [11,12]

$$\begin{cases} \varphi_1(x) = \varphi(x) - \varphi_0(x) \\ \frac{d\varphi(x)}{dx} = \frac{k}{f}(\xi - x) \\ \frac{I_0(x)}{I_1(\xi)} = \frac{d\xi}{dx}, \quad x \in [x_0, x_1], \quad \xi \in [\xi_0, \xi_1], \end{cases} \quad (8)$$

где $\varphi_0(x)$ - фазовая функция освещающего пучка, f - расстояние до плоскости фокусировки, $I_0(x)$ - интенсивность освещающего пучка, $I_1(\xi)$ - требуемое распределение интенсивности в плоскости фокусировки.

В частности, при фокусировке плоского пучка в продольный отрезок с постоянной интенсивностью уравнения (6) и (8) дают фазовую функцию ДОЭ в форме

$$\varphi(r) = \frac{-kR^2}{2L} \ln \left[\frac{r^2 L}{R^2 z_1} + 1 \right], \quad (9)$$

где $L = z_2 - z_1$.

При $L/z_1 \ll 1$ использование аппроксимации $\ln(1+x) \approx x - x^2/2$ приводит уравнение (9) к виду

$$\varphi(r) = \frac{-kr^2}{2z_1} + \frac{kr^4 L}{4R^2 z_1^2}. \quad (10)$$

Фазовая функция (10) соответствует фазовой функции тонкой линзы с введенной сферической абберацией.

Следует заметить, что приближение геометрической оптики для расчета $\varphi_I(x)$ дает уравнения (9) и (10), которые совпадают с фазовыми функциями фокусаторов, описанных в работах [4-7]. В связи с этим в дальнейшем изложении ДОЭ, определяемые уравнениями (9) и (10), будем называть фокусаторами.

Рассмотрим также получение фазовой функции $\varphi_I(x)$ на основе использования итерационного алгоритма Герчберга-Секстона [13] или одной из его модификаций [7,14,15], позволяющих улучшить геометрические решения (9) и (10).

В работе [16] сообщается о расчете "квазипериодических" ДОЭ, близких по своим функциональным свойствам к физическим голограммам, так как каждый период апертуры таких ДОЭ формирует полную фокальную область. При фокусировке сходящегося сферического пучка фазовая функция $\varphi_I(x)$, $x \in [x_0, x_1]$, одномерного квазипериодического ДОЭ соответствует K -раз повторенной фазовой функции $\varphi_p(x)$, $x \in [0, (x-x_0)/K]$, которая обеспечивает фокусировку в требуемый отрезок. Для каждого периодического повторения вводится свой постоянный фазовый сдвиг [15]

$$\varphi_i = \frac{\pi i^2}{K}, \quad i = 0, \dots, K-1, \quad (11)$$

K - четное.

Таким образом, фазовая функция квазипериодического ДОЭ имеет вид

$$\varphi_I(x) = \varphi_p \left(x - x_1 - \alpha \operatorname{int} \left[\frac{x - x_1}{\alpha} \right] \right) + \frac{\pi}{K} \operatorname{int} \left[\frac{x - x_1}{\alpha} \right]^2 \quad (12)$$

где $\alpha = (x_2 - x_1)/K$, а $\operatorname{int}[x]$ есть целая часть x .

Функция $\varphi_p(x)$, $x \in [0, \alpha]$, в уравнении (12) может быть получена аналитически на основе решения системы (8) или численно - используя итерационный алгоритм Герчберга-Секстона.

Используя функцию $\varphi_p(x)$, полученную на основе решения системы (8), можно найти фазовую функцию ДОЭ, фокусирующего плоский пучок в продольный отрезок:

$$\varphi(r) = \frac{-kR^2}{2KL} \ln \left(\frac{LK}{R^2 z_1} \left(r^2 - \frac{R^2}{K} \operatorname{int} \left[\frac{r^2 K}{R^2} \right] \right) + 1 \right) + \tilde{\varphi}(r) \quad (13)$$

где

$$\tilde{\varphi}(r) = \frac{\pi}{K} \operatorname{int} \left[\frac{r^2 K}{R^2} \right]^2 \quad (14)$$

Заметим, что для $K=1$ уравнение (13) соответствует фазовой функции фокусатора (9). Если $L/z_1 \ll 1$ уравнение (13) может быть сведено к виду

$$\begin{aligned} \varphi(r) = & -\frac{kr^2}{2z_1} + \frac{kR^2}{2z_1 K} \operatorname{int} \left[\frac{r^2 K}{R^2} \right] + \\ & + \frac{kLK}{4R^2 z_1^2} \left(r^2 - \frac{R^2}{K} \operatorname{int} \left[\frac{r^2 K}{R^2} \right] \right)^2 + \tilde{\varphi}(r) \end{aligned} \quad (15)$$

Для квазипериодического ДОЭ, определяемого уравнениями (13) или (15), фазовая функция $\varphi_p(x)$ в уравнении (12) соответствует фокусировке в отрезок длиной $N(K)\Delta$, где $\Delta = 2\lambda z_1 K/R^2$ - размер дифракционного пятна, а

$$N(K) = \operatorname{int} \left[\frac{LR^2}{2\lambda z_1 K} \right] \quad (16)$$

Использование геометрического решения для $\varphi_p(x)$ в уравнении (12) возможно только для $N(K) \gg 1$ (т.е. для $N(K)=10$ или больше), что налагает ограничения на возможные значения K . При

$N(K)=1-3$ синтез квазипериодического ДОО становится невозможным даже с использованием итерационного расчета функции $\varphi_p(x)$ в уравнении (12).

Проанализируем уравнение (15). При $\tilde{\varphi}(r) \equiv 0$, фазовая функция (15) превращается в фазовую функцию многофокусной линзы [17,18] с количеством фокусов N , определяемым формулой (16). Координаты фокусов

$$F_i = z_1 \frac{R^2}{R^2 - 2i\lambda K z_1} \quad i = 0, 1, \dots, N \quad (17)$$

Таким образом, при $\tilde{\varphi}(r) \equiv 0$ распределение интенсивности на оптической оси соответствует N пикам с шириной соседних пиков в K раз меньшим, чем расстояние между соседними фокусами. При $K=1$ пики сливаются, образуя отрезок вдоль оптической оси. Аналогичным образом дифракционная решетка обеспечивает разбиение фокального изображения на набор точек только при числе периодов $K > 1$. Функция $\tilde{\varphi}(r)$ в (13) соответствует введению сферической аберрации в (10) для фокусировки в отрезок (F_i, F_{i+1}) . Это обеспечивает формирование непрерывного распределения интенсивности вдоль оптической оси при $K > 1$.

Заметим, что проведенный анализ выполнен только для квазипериодических ДОО (13) или (15). Строгий вывод формы функции $\tilde{\varphi}(r)$ следует из формулы (7) и метода расчета квазипериодического ДОО [16], фокусирующего в поперечный отрезок.

Результаты численного моделирования

В этом разделе рассматривается численное исследование решений задачи фокусировки в продольный отрезок, полученных на основе геометрической функции (9) и квазипериодической функции (13).

Методы расчета ДОО, рассмотренные в предыдущем параграфе, направлены на создание требуемого распределения интенсивности на оптической оси и не управляют распределением в ε -окрестности оптической оси, что намного важнее для практического использования ДОО. В этой связи, чтобы охарактеризовать работу ДОО, будем применять следующие характеристики: среднеквадратичное отклонение δ полученного распределения

от требуемого (СКО) и энергетическую эффективность E . Значение

$$\delta(\varepsilon) = \frac{1}{E} \left[\frac{1}{(z_2 - z_1)} \int_{z_1}^{z_2} (E(z, \varepsilon) - \bar{E})^2 dz \right]^{1/2}$$

где

$$\bar{E} = \frac{1}{(z_2 - z_1)} \int_{z_1}^{z_2} E(z, \varepsilon) dz, \quad E(z, \varepsilon) = 2\pi \int_0^\varepsilon I(r, z) r dr$$

характеризует среднеквадратичное отклонение осевого распределения энергии $E(z, \varepsilon)$ от среднего значения $\bar{E}(\varepsilon)$. Если $\varepsilon \rightarrow 0$, $\delta(\varepsilon)$ характеризует среднеквадратичное отклонение распределения интенсивности на оптической оси от среднего значения. Величина $E(z, \varepsilon)$ характеризует энергию, приходящую в ε -окрестность оптической оси с координатой z , в то время как значение

$$E(\varepsilon) = \bar{E}(\varepsilon) / \left(2\pi \int_0^\varepsilon I_0(r) r dr \right)$$

характеризует среднюю долю энергии освещающего пучка, фокусируемую в поперечное сечение отрезка фокусировки с радиусом ε .

Левая часть таблицы 1 содержит рассчитанные значения $E(\varepsilon)$ и $\delta(\varepsilon)$ [$\varepsilon = \Delta, 2\Delta$ и 3Δ , где $\Delta = 0,61 \cdot \lambda (z_1 + z_2) / (2R)$] для фокусатора с фазовой функцией (9), предназначенного для фокусировки плоского пучка в продольный отрезок с постоянным распределением интенсивности со следующими параметрами: $\lambda = 0,63 \mu\text{м}$; $z_1 = 320 \text{мм}$; $z_2 = 360 \text{мм}$; $R = 15 \text{мм}$. Средняя часть таблицы 1 содержит аналогичные значения для "квазипериодического ДОО-1", а именно для ДОО с фазовой функцией (13) при $K=2, 4$. В правой части таблицы 1 расположены значения $E(\varepsilon)$ и $\delta(\varepsilon)$ для "квазипериодического ДОО-2" при $K=2, 4$, рассчитанного с использованием квазипериодической функции $\varphi_l(x)$ (12). В этом случае функция $\varphi_p(x)$ в (12) рассчитывалась с использованием адаптивной модификации алгоритма Герчберга-Секстона [7] с использованием в качестве начального приближения геометрической функции (9).

Таблица 1.

Энергетическая эффективность $E(\varepsilon)$ и среднеквадратичное отклонение $\delta(\varepsilon)$ для фокусатора и для квазипериодических ДОО 1 и 2.

ε	Фокусатор		Квазипериодический ДОО-1				Квазипериодический ДОО-2			
			K=2		K=4		K=2		K=4	
	$\delta(\varepsilon)\%$	$E(\varepsilon)\%$	$\delta(\varepsilon)\%$	$E(\varepsilon)\%$	$\delta(\varepsilon)\%$	$E(\varepsilon)\%$	$\delta(\varepsilon)\%$	$E(\varepsilon)\%$	$\delta(\varepsilon)\%$	$E(\varepsilon)\%$
$\varepsilon \ll \Delta$	29,1	-	31,0	-	35,3	-	12,5	-	11,1	-
Δ	77,8	1,8	50,1	1,9	49,9	1,8	38,9	1,7	38,0	1,8
2Δ	65,6	3,6	50,8	3,7	53,3	3,7	44,6	3,3	42,9	3,6
3Δ	59,3	5,3	41,8	5,4	40,3	5,4	36,5	4,8	32,2	5,3

Анализ данных таблицы 1 показывает, что фокусатор (9) с осевой неравномерностью распределе-

ния интенсивности в 29% имеет значительную неравномерность распределения энергии от 77% до

59% для $\varepsilon = \Delta$, 2Δ и 3Δ соответственно. Для квазипериодического ДООЭ-1 неравномерность распределения интенсивности вдоль оптической оси больше и составляет 31% при $K=2$ и 35% при $K=4$. Большая неравномерность осевого распределения интенсивности для квазипериодического ДООЭ-1 обусловлена ростом погрешности геометрического решения (9) с увеличением K . В то же время неравномерность распределения энергии $E(z, \varepsilon)$ для квазипериодических ДООЭ в 1,4-1,6 раз меньше, чем для фокусаторов. Для квазипериодических ДООЭ-2 по сравнению с квазипериодическими ДООЭ-1 неравномерность распределения интенсивности вдоль оптической оси примерно в три раза меньше при значительно меньшем (в 1,2-1,3 раза) снижении неравномерности распределения энергии $E(z, \varepsilon)$. Энергетическая эффективность $E(\varepsilon)$ приблизительно одинакова для всех исследованных оптических элементов и лежит в пределах от 1,7% до 1,9% при $\varepsilon = \Delta$ и от 4,8% до 5,4% при $\varepsilon = 3\Delta$.

На рисунках 2 - 4 приведены полутоновые распределения интенсивности $I(\rho, z)$ для фокусатора и квазипериодических ДООЭ 1 и 2 при $K=4$. Рис.2 демонстрирует значительное размывание поля в начале отрезка с энергией, в основном сконцентрированной в пределах фокального пятна шириной от $1,5\Delta - 2\Delta$ в начале отрезка до Δ в конце отрезка. Поля на рисунках 3 и 4 имеют периодическую структуру. Полученный результат соответствует анализу работы квазипериодического ДООЭ, приведенному выше (в предыдущем разделе).

При $\tilde{\varphi}(r) \equiv 0$ ДООЭ-1 с фазовой функцией (13) соответствует многофокусной линзе (см. Рис. 5). Функция $\tilde{\varphi}(r)$, уравнение (14), соответствует введению сферической aberrации и обеспечивает формирование структуры фокального поля близкой к структуре поля от фокусатора. Число периодов поля N обратно пропорционально K и определяется уравнением (16); при $K=4$ и исследуемых параметрах (Рис.2-5) $N=16$.

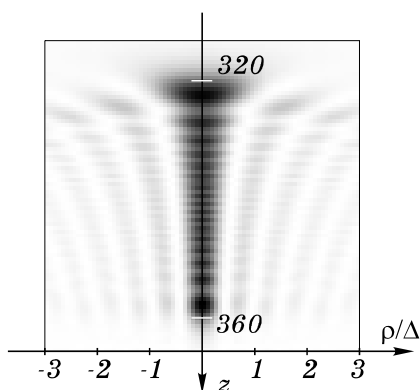


Рис.2. Полутоновое распределение интенсивности в меридиональном сечении (ρ, z) фокальной плоскости фокусатора с параметрами: $\lambda=0,63$ мкм, $z_1=320$ мм; $z_2=360$ мм; $R=15$ мм.

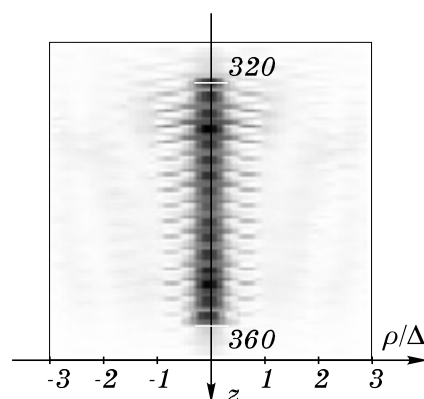


Рис.3. Полутоновое распределение интенсивности в меридиональном сечении (ρ, z) фокальной плоскости квазипериодического ДООЭ-1 с параметрами: $\lambda=0,63$ мкм, $z_1=320$ мм; $z_2=360$ мм; $R=15$ мм; $K=4$.

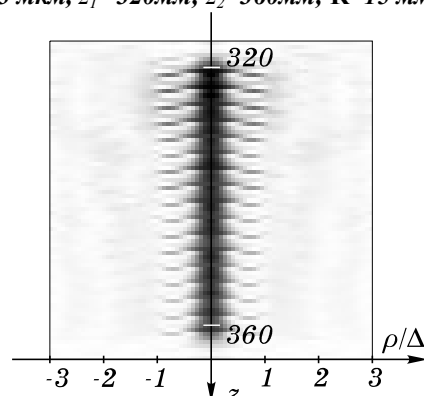


Рис.4. Полутоновое распределение интенсивности в меридиональном сечении (ρ, z) фокальной плоскости квазипериодического ДООЭ-2 с параметрами: $\lambda=0,63$ мкм, $z_1=320$ мм; $z_2=360$ мм; $R=15$ мм; $K=4$.

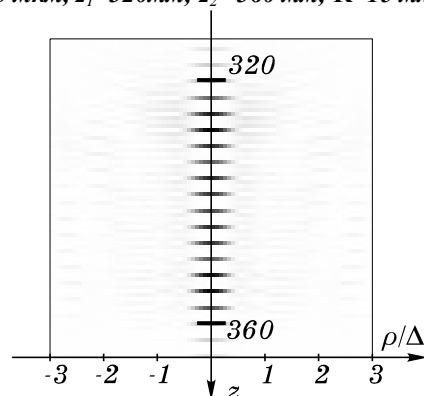


Рис.5. Полутоновое распределение интенсивности в меридиональном сечении (ρ, z) фокальной плоскости квазипериодического ДООЭ-1 (Рис.3) при $\tilde{\varphi}(r) \equiv 0$ в уравнении (13).

Таким образом, значение K влияет на структуру поля, формируемую квазипериодическими ДООЭ. В то же время погрешность геометрического и итерационного расчета функции $\varphi_p(x)$ в (12) увеличивается с ростом K . Из сказанного следует, что значение K можно рассматривать как дополнительный оптимизационный параметр расчета ДООЭ, обеспечивающий возможность оптимизации $E(\varepsilon)$ и $\delta(\varepsilon)$ при заданном ε . Например, если $\varepsilon=2\Delta$, квазипериодический ДООЭ-1

обеспечивает более равномерное распределение энергии при $K=2$, чем при $K=4$. В то же время, если $\varepsilon=3\Delta$, квазипериодический ДОЭ-2 дает более высокую эффективность при $K=4$, чем при $K=2$.

Заключение

Получены и проанализированы квазипериодические решения задачи фокусировки в продольный отрезок. Квазипериодический ДОЭ может рассматриваться как набор концентрических колец, каждое из которых формирует весь отрезок фокусировки.

Численные исследования продемонстрировали лучшие показатели фокусировки для квазипериодических ДОЭ по сравнению с фокусаторами. Аналитически рассчитанный квазипериодический ДОЭ-1 обеспечивает формирование распределения энергии в ε -окрестности отрезка оптической оси, которое в 1,4 - 1,5 раза равномернее аналогичного распределения для фокусаторов. Квазипериодический ДОЭ-2, рассчитанный с использованием итерационного алгоритма Герчберга-Секстона, обеспечивает дополнительное уменьшение неравномерности распределения энергии $E(z,\varepsilon)$ вдоль отрезка фокусировки в 1,2 - 1,3 раза по сравнению с ДОЭ-1.

Благодарность

Работа выполнена в рамках Государственной научно-технической программы "Наукоемкие технологии" при поддержке Министерства науки и технической политики РФ. Авторы выражают благодарность А.Е. Царегородцеву, С.И.Харитонову, Я.Е. Тахтарову и С.В. Смагину за помощь в подготовке настоящей статьи.

Литература

1. Laser plasmas optically pumped by focusing with axicon a CO_2 -TEA laser beam in a high-pressure gas / Tremblay R., D'Astons Y., Roy G., Blanshard M. // Optics Communications. - 1979. - Vol.28, No 2. - P.193-196.
2. Brenden B.V., Russel J.T. Optical playback apparatus focusing system for producing a prescribed energy distribution along an axial focal zone // Applied Optics. - 1984. - Vol.23, No 19. - P.3250-3253.
3. Michaltsova I.A., Nalivaiko V.I., Soldatenkov I.S. Kinoform axicon // Optika. - 1984. - Vol.67, No 3. - P.267-270.
4. Пальчикова И.Г. Киноформные оптические элементы с увеличенной глубиной фокуса // Компьютерная оптика. - М.: МЦНТИ, 1989. - Вып.6. - С.9-19.

5. Фокусировка когерентного излучения в заданную область пространства с помощью синтезированных на ЭВМ голограмм / Голуб М.А., Карпеев С.В., Прохоров А.М., Сисакян И.Н., Соифер В.А. // Письма в ЖТФ. - 1981. - Т.7, вып.10. - С.618-623.

6. Вычислительный эксперимент с элементами плоской оптики / Голуб М.А., Казанский Н.Л., Сисакян И.Н., Соифер В.А. // Автометрия. - 1988. - No 1. - С. 70-82.

7. Khonina S.N., Kotlyar V.V., Soifer V.A. Calculation of the focusators into a longitudinal line-segment and study of a focal area // Journal of Modern Optics. - 1993. - Vol.40. - P.761-769.

8. Борн М., Вольф Э. Основы оптики. - М.: Наука, 1973. - 720 с.

9. Kathuria Y.P. Computer modeling of three-dimensional Fresnel-diffraction pattern at circular, rectangular and square apertures // Optica Applicata. - 1984. - Vol. 14, No 4. - P.509-514.

10. Янке Е., Эмде Ф., Леш Ф. Специальные функции (формулы, графики, таблицы). - М.: Наука. - 1968. - 344с.

11. Golub M.A., Sisakian I.N., Soifer V.A. Infra-red radiation focusators // Optics and Lasers in Engineering. - 1991. - Vol.15, No 5. - P.297-309.

12. Метод согласованных прямоугольников для расчета фокусаторов в плоскую область / Голуб М.А., Досколович Л.Л., Казанский Н.Л., Сисакян И.Н., Соифер В.А., Харитонов С.И. // Компьютерная оптика. - М.: МЦНТИ, 1992. - Вып.10-11. - С.100-110.

13. Gerchberg R.W., Saxton W.D. A practical algorithm for the determination of phase from image and diffraction plane pictures // Optik. - 1972. - Vol.35. - P.237-246.

14. Fienup J.R. Iterative method applied to image reconstruction and to computer-generated holograms // Optical Engineering, 1980. - Vol.19. - P.297-303.

15. Kotlyar V.V., Nikolsky I.V., Soifer V.A. Adaptive iterative algorithm for focusators synthesis // Optik. - 1991. - Vol.88, No 1. - P.17-19.

16. Березный А.Е. Квазипериодические оптические элементы // Компьютерная оптика. - М.: МЦНТИ, 1989. - Вып.6. - С.19-23.

17. Computer generated diffractive multi-focal lens / Golub M.A., Doskolovich L.L., Kazanskiy N.L., Kharitonov S.I., Soifer V.A. // Journal of Modern Optics. - 1992. - Vol.39, No 6. - P.1245-1251.

18. Special diffractive lenses / Doskolovich L.L., Golub M.A., Kazanskiy N.L., Soifer V.A., Usplenjev G.V. // Proceedings SPIE. - 1993. - Vol.1780. - P.393-402.